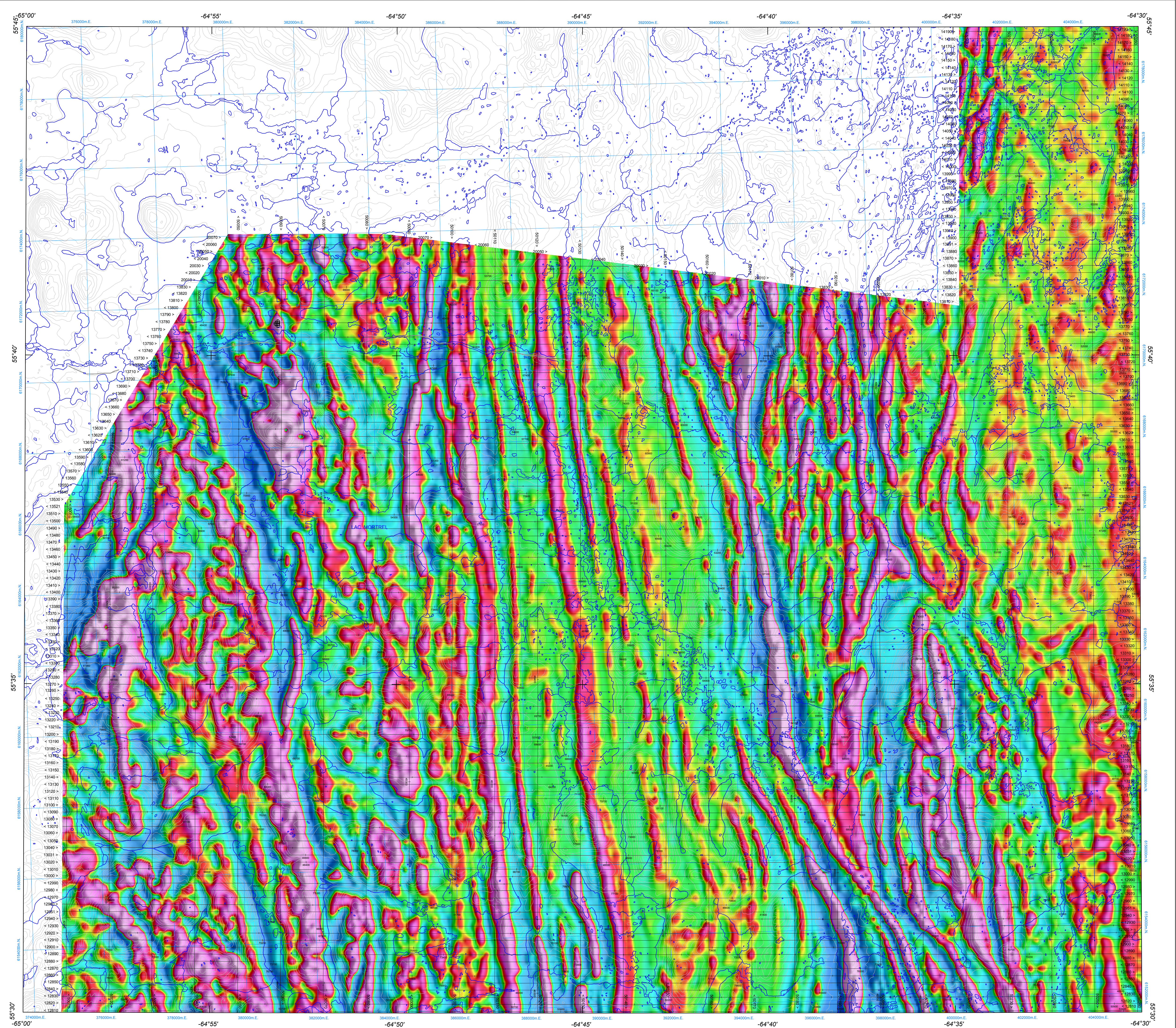


DÉRIVÉE PREMIÈRE VERTICALE DU CHAMP MAGNÉTIQUE



Ce levé aéromagnétique et la production de cette carte ont été financés conjointement par le programme Géosciences et mines des Ressources naturelles du Québec (GEM) et la quatrième phase de l'initiative géoscience cible (IGC-4), qui sont des programmes de recherche et de développement de la Terre, Ressources naturelles Canada.

Cet aéromagnétique survey and production of this map were partly funded by the Geo-Sensing for Energy and Mineral (GEM) program and the fourth phase of the Targeted Geoscience Initiative (TGI-4), which are programs of the Earth Sciences Sector, Natural Resources Canada.

Auteurs : R. Dumont et A. Jones
Acquisition et compilation des données et production des cartes par Geo Data Solutions GDS Inc., Laval (Québec)
Gestion et supervision du projet par la Commission géologique du Canada, Ottawa (Ontario)

DOSSIER PUBLIC 7164 DE LA CGC / GSC OPEN FILE 7164
MINISTÈRE DES RESSOURCES NATURELLES ET DE LA FAUNE DU QUÉBEC, DP 2012-05 C020

Echelle 1/50 000 - Scale 1: 50 000

Échelle 1/50 000 - Scale 1: 50 000



GEM
Québec

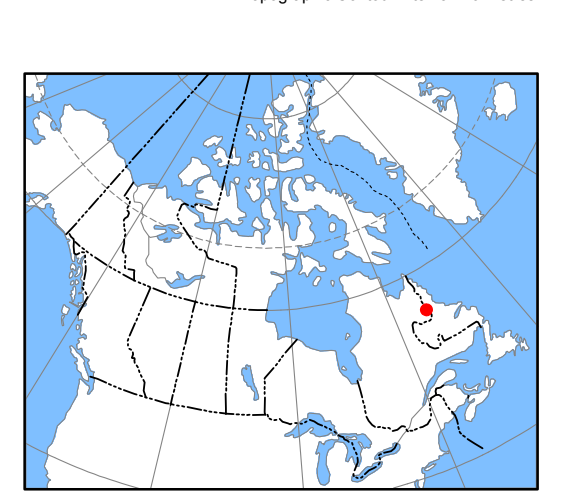
LEVÉ AÉROMAGNÉTIQUE DE LA RÉGION DU BATHOLITE DE MISTASTIN
AEROMAGNETIC SURVEY MISTASTIN BATHOLITH

SNRC 23 P10 / NTS 23 P10
QUÉBEC / QUEBEC

DÉRIVÉE PREMIÈRE VERTICALE DU CHAMP MAGNÉTIQUE
FIRST VERTICAL DERIVATIVE OF THE MAGNETIC FIELD

Échelle 1/50 000 - Scale 1: 50 000
kilomètres 1 0 1 2 3 4 5 kilomètres
Projection transverse universelle de Mercator
Système de référence géodésique nord-américain, 1983
© Sa Majesté la Reine du Canada et le Canada 2012
Données topographiques numériques de Géomatics Canada, Ressources naturelles Canada
Digital Topographic Data provided by Géomatics Canada, Natural Resources Canada

Authors: R. Dumont and A. Jones
Data acquisition and compilation and map production by
Geo Data Solutions GDS Inc., Laval, Quebec
Contract and project management by the
Geological Survey of Canada, Ottawa, Ontario.



Feuillet / Sheet	Carte / Map
1 -	Composante résiduelle du champ magnétique total Residual Total Magnetic Field
2 -	Dérivée première verticale du champ magnétique First Vertical Derivative of the Magnetic Field

DÉRIVÉE PREMIÈRE VERTICALE DU CHAMP MAGNÉTIQUE

Cette carte de la dérivée première verticale du champ magnétique a été compilée à partir de données acquises lors d'un levé aéromagnétique exécuté par Geo Data Solutions GDS Inc. et Oracle Geoscience International pendant la période du 16 février au 16 avril 2012. La carte a été produite en utilisant les données de vol avec une vitesse de césium à faisceau partagé (sensibilité de 0,005 nT) installée dans la partie de queue de chacun de trois avions Piper Navajo. L'opérateur a effectué un vol en zigzag sur une grille de 50 m de lignes de contrôle, de 1 200 m. L'avion volait à une hauteur nominale au-dessus du sol de 50 m. Les lignes de vol étaient orientées E-W et les lignes de contrôle étaient orientées N-S. La dérivée première a été restituée par l'application après le vol de corrections différentielles aux données brutes du système GPS et par inspection d'images aériennes pour éliminer les artefacts liés à la géométrie de la grille. Le levé a été effectué suivant une surface de vol prédominante afin de minimiser les différences des valeurs du champ magnétique au cours du vol. Les différences de vol au cours du vol. Ces différences ont été analysées sur le champ magnétique le long de la ligne de vol et ont été corrigées pour éliminer les artefacts liés à la géométrie quadratique à malie de 50 m, puis le champ géomagnétique intermédiaire de référence (IGRF) défini à une altitude de 616 m pour l'année 2012 a été soustrait. La dérivée première verticale qui résulte de cette analyse est la composante résiduelle essentiellement reliée à l'amortissement de la croûte terrestre.

La dérivée première verticale du champ magnétique représente la tâche aussi complète que la champ magnétique suivant la verticale. Le calcul de la dérivée première verticale supprime les composantes de grande longueur d'ondes du champ magnétique et améliore considérablement la résolution des anomalies de champ magnétique. L'une des propriétés des cartes de la dérivée première verticale est la coïncidence de la courbe de valeur zéro et des contacts verticaux aux hautes latitudes magnétiques (Hood, 1965).

Coefficients de correlation Keating

Cette technique de reconnaissance de forme (Keating, 1995) pour l'identification d'anomalies plus ou moins circulaires consiste à calculer le coefficient de corrélation entre une grille modélisée et une grille d'une anomalie d'un cylindre vertical et les données magnétiques de la grille. Les résultats qui ont un coefficient de corrélation supérieur à un seuil peuvent être considérés comme étant probablement en accord avec leur valeur de corrélation. Les cases les plus favorables sont celles qui présentent des groupements de coefficients de corrélation élevés, et les paramètres du cylindre sont les suivants : diamètre = 120 m, profondeur = 200 m, longueur d'ondes = 120 m; inclinaison magnétique = 76°N; déclinaison magnétique = 23°W; fenêtre = 23°W; taille de la fenêtre = 1000 m x 1000 m.

On peut télécharger gratuitement des versions numériques de cette carte depuis la section « MIRAGE » de l'Entrepôt de données géoscientifiques de Ressources naturelles Canada à l'adresse Web <http://edp.mncr.gc.ca/mirage/>. Correspondant aux profils et grilles correspondantes en formats profil et grille, ainsi que des données similaires issues des levés géophysiques aéroprototypiques adjacents, sont disponibles pour les deux dernières années. On peut également télécharger l'ensemble de données géoscientifiques de Ressources naturelles Canada, à l'adresse Web <http://edp.mncr.gc.ca/geomag/>. On peut se procurer des copies papier de cette carte, en contactant le Centre des données géophysiques de la Commission géologique du Canada, 615, rue Booth, Ottawa (Ontario) K1A 0E9. Tél. (613) 952-5328, courriel : info@cgsc.mncr.gc.ca.

On peut aussi obtenir cette carte et les données géophysiques correspondantes en format papier par la section « Produits et services en ligne » du site Web du ministère des Ressources naturelles et de la Faune du Québec, à l'adresse <http://www.mnmf.gouv.qc.ca/produits-services/mines.jsp>.

COEFFICIENTS KEATING

Digital versions of this map can be downloaded at no charge from Natural Resources Canada's Geoscience Data Repository (MIRAGE) at <http://edp.mncr.gc.ca/mirage/>. Corresponding air profile and grid data corresponding to the profiles and grids shown on this map are available from Natural Resources Canada's Geoscience Data Repository at <http://edp.mncr.gc.ca/geomag/>. One can also purchase paper versions of this map, through the Geological Survey of Canada, 615 Booth Street, Ottawa, Ontario K1A 0E9. Telephone: (613) 952-5328, email: info@cgsc.mncr.gc.ca.

This map and the corresponding digital geophysical data may also be obtained from the Ministry of Natural Resources and the Ministry of the Environment of Quebec. The online products and services page at <http://www.mnmf.gouv.qc.ca/english/products-services/mines.jsp>.

Références / References

Hood, P. J. 1965. Gradient measurements in aeromagnetic surveying. *Geophysics*, v. 30, p. 891-902.

Keating, P. 1995. A simple technique to identify magnetic anomalies due to kimberlite pipes. *Exploration and mining geology*, v. 4, no. 2, p. 121-125.

KEATING COEFFICIENTS

○ 90%
○ 85%
○ 80%
⊕ Correlation positive
⊖ Correlation negative

SYMBOLES PLANIMÉTRIQUES

Course de niveau
Limite de territoire
Route
Chemin
Ligne de vol
Topographic Contour
Territory Boundary
Drainage
Road
Flight Line

PLANIMETRIC SYMBOLS

18,459
2,256
1,950
1,590
1,200
1,000
850
750
670
600
530
470
430
380
330
290
250
210
170
130
100
70
50
30
20
10
5
2
1
0,5
0,2
0,1
0,05
0,02
0,01
0,005
0,002
0,001
0,0005
0,0002
0,0001
-0,0001
-0,0002
-0,0005
-0,001
-0,002
-0,005
-0,01
-0,02
-0,05
-0,1
-0,2
-0,3
-0,4
-0,5
-0,6
-0,7
-0,8
-0,9
-1,0
-1,1
-1,2
-1,3
-1,4
-1,5
-1,6
-1,7
-1,8
-1,9
-2,0
-2,1
-2,2
-2,3
-2,4
-2,5
-2,6
-2,7
-2,8
-2,9
-3,0
-3,1
-3,2
-3,3
-3,4
-3,5
-3,6
-3,7
-3,8
-3,9
-4,0
-4,1
-4,2
-4,3
-4,4
-4,5
-4,6
-4,7
-4,8
-4,9
-5,0
-5,1
-5,2
-5,3
-5,4
-5,5
-5,6
-5,7
-5,8
-5,9
-6,0
-6,1
-6,2
-6,3
-6,4
-6,5
-6,6
-6,7
-6,8
-6,9
-7,0
-7,1
-7,2
-7,3
-7,4
-7,5
-7,6
-7,7
-7,8
-7,9
-8,0
-8,1
-8,2
-8,3
-8,4
-8,5
-8,6
-8,7
-8,8
-8,9
-9,0
-9,1
-9,2
-9,3
-9,4
-9,5
-9,6
-9,7
-9,8
-9,9
-10,0
-10,1
-10,2
-10,3
-10,4
-10,5
-10,6
-10,7
-10,8
-10,9
-11,0
-11,1
-11,2
-11,3
-11,4
-11,5
-11,6
-11,7
-11,8
-11,9
-12,0
-12,1
-12,2
-12,3
-12,4
-12,5
-12,6
-12,7
-12,8
-12,9
-13,0
-13,1
-13,2
-13,3
-13,4
-13,5
-13,6
-13,7
-13,8
-13,9
-14,0
-14,1
-14,2
-14,3
-14,4
-14,5
-14,6
-14,7
-14,8
-14,9
-15,0
-15,1
-15,2
-15,3
-15,4
-15,5
-15,6
-15,7
-15,8
-15,9
-16,0
-16,1
-16,2
-16,3
-16,4
-16,5
-16,6
-16,7
-16,8
-16,9
-17,0
-17,1
-17,2
-17,3
-17,4
-17,5
-17,6
-17,7
-17,8
-17,9
-18,0
-18,1
-18,2
-18,3
-18,4
-18,5
-18,6
-18,7
-18,8
-18,9
-19,0
-19,1
-19,2
-19,3
-19,4
-19,5
-19,6
-19,7
-19,8
-19,9
-20,0
-20,1
-20,2
-20,3
-20,4
-20,5
-20,6
-20,7
-20,8
-20,9
-21,0
-21,1
-21,2
-21,3
-21,4
-21,5
-21,6
-21,7
-21,8
-21,9
-22,0
-22,1
-22,2
-22,3
-22,4
-22,5
-22,6
-22,7
-22,8
-22,9
-23,0
-23,1
-23,2
-23,3
-23,4
-23,5
-23,6
-23,7
-23,8
-23,9
-24,0
-24,1
-24,2
-24,3
-24,4
-24,5
-24,6
-24,7
-24,8
-24,9
-24,10
-24,11
-24,12
-24,13
-24,14
-24,15
-24,16
-24,17
-24,18
-24,19
-24,20
-24,21
-24,22
-24,23
-24,24
-24,25
-24,26
-24,27
-24,28
-24,29
-24,30
-24,31
-24,32
-24,33
-24,34
-24,35
-24,36
-24,37
-24,38
-24,39
-24,40
-24,41
-24,42
-24,43
-24,44
-24,45
-24,46
-24,47
-24,48
-24,49
-24,50
-24,51
-24,52
-24,53
-24,54
-24,55
-24,56
-24,57
-24,58
-24,59
-24,60
-24,61
-24,62
-24,63
-24,64
-24,65
-24,66
-24,67
-24,68
-24,69
-24,70
-24,71
-24,72
-24,73
-24,74
-24,75
-24,76
-24,77
-24,78
-24,79
-24,80
-24,81
-24,82
-24,83
-24,84
-24,85
-24,86
-24,87
-24,88
-24,89
-24,90
-24,91
-24,92
-24,93
-24,94
-24,95
-24,96
-24,97
-24,98
-24,99
-24,100
-24,101
-24,102
-24,103
-24,104
-24,105
-24,106
-24,107
-24,108
-24,109
-24,110
-24,111
-24,112
-24,113
-24,114
-24,115
-24,116
-24,117
-24,118
-24,119
-24,120
-24,121
-24,122
-24,123
-24,124
-24,125
-24,126
-24,127
-24,128
-24,129
-24,130
-24,131
-24,132
-24,133
-24,134
-24,135
-24,136
-24,137
-24,138
-24,139
-24,140
-24,141
-24,142
-24,143
-24,144
-24,145
-24,146
-24,147
-24,148
-24,149
-24,150
-24,151
-24,152
-24,153
-24,154
-24,155
-24,156
-24,157
-24,158
-24,159
-24,160
-24,161
-24,162
-24,163
-24,164
-24,165
-24,166
-24,167
-24,168
-24,169
-24,170
-24,171
-24,172
-24,173
-24,174
-24,175
-24,176
-24,177
-24,178
-24,179
-24,180
-24,181
-24,182
-24,183
-24,184
-24,185
-24,186
-24,187
-24,188
-24,189
-24,190
-24,191
-24,192
-24,193
-24,194
-24,195
-24,196
-24,197
-24,198
-24,199
-24,200
-24,201
-24,202
-24,